

# Avaliação do uso de *embeddings* para o reconhecimento de emoções na fala

Pedro Munhoz, Guilherme Cavazzotto, Larissa Guder, Luan Dopke, Dalvan Griebler

<sup>1</sup> Escola Politécnica, Pontifícia Universidade Católica do Rio Grande do Sul (PUCRS)  
Porto Alegre – RS – Brasil

{p.munhoz, guilherme.sanches, larissa.guder, luan.dopke}@edu.pucrs.br  
dalvan.griebler@pucrs.br

**Abstract.** *The present article aims to evaluate the usage embedding-based feature extraction methods, for the task of speech emotion recognition. In order to do so, the IEMOCAP dataset was utilized and 9 classifier models were trained and tested on 11 different feature sets. As a result, it was observed that the feature extraction method “trillsson5” resulted in the combination with the highest accuracy, which suggests that embedding-based models may outperform others in the task.*

**Resumo.** *O presente artigo tem como objetivo avaliar o uso de métodos de extração de atributos baseados em embeddings para a tarefa de reconhecimento de emoções. Para isso, foi utilizado o conjunto de dados IEMOCAP e 9 modelos classificadores foram treinados e testados com 11 conjuntos de atributos diferentes. Como resultado, foi observado que o modelo trillsson5 de extração de atributos resultou na combinação de melhor acurácia, o que sugere que os modelos baseados em embeddings podem superar os demais na tarefa.*

## 1. Introdução

A área de reconhecimento de emoções na fala engloba métodos e técnicas voltados ao processamento e à classificação de sinais de fala, com o objetivo de identificar e interpretar as emoções presentes nesses sinais. Pode-se representar as emoções de duas formas: dimensional (contínua) e categórica (discreta). Na abordagem dimensional, as emoções são representadas em escalas contínuas, como valência (grau de positividade ou negatividade) e excitação (nível de ativação ou intensidade), permitindo avaliar a intensidade de cada estado emocional [Russell 1980]. Já na abordagem categórica, as emoções são comumente classificadas em categorias discretas, como felicidade, tristeza, raiva, medo, nojo, surpresa e medo [Lieskovská et al. 2021].

Em geral, as diferentes formas de representação quantitativa de sinal de fala podem ser divididas em dois grupos: as formas manuais e as que geram *embeddings*. As primeiras são baseadas em aspectos acústicos do sinal. Já as segundas são extraídas através da utilização de modelos pré-treinados de aprendizado de máquina e têm apresentado bons resultados nos últimos anos [Feng et al. 2024].

Dentre a literatura analisada por [Hashem et al. 2023], há poucos estudos que exploram o uso de *embeddings* como forma de representação de sinais de fala para o treinamento de modelos cuja finalidade é o reconhecimento de emoções conforme a abordagem categórica, usando o conjunto de dados IEMOCAP (*Interactive Emotional Dyadic Motion Capture Database*) [Busso et al. 2008]. Em trabalho prévio, foi avaliado o uso de *embeddings* para a previsão de emoções segundo o modelo dimensional, no mesmo conjunto de dados [Guder et al. 2024].

Tendo isso em vista, o presente artigo tem como objetivo investigar o impacto do uso de métodos de extração de atributos baseados em *embeddings* para a tarefa de reconhecimento de emoções em sinais de fala. Para isso, foi utilizado o conjunto de dados IEMOCAP, por conta do fato de ser ele o mais comumente usado para a testagem de sistemas que são o estado da arte [Lieskovská et al. 2021].

Como trabalho relacionado, [Purohit et al. 2023] buscou realizar uma comparação similar. Mas em seu estudo, apenas o conjunto de atributos “Compare” foi usado como demonstrativo dos métodos manuais. Além disso, apenas dois classificadores foram utilizados. Este trabalho expande esse escopo ao utilizar outros dois conjuntos de atributos e nove classificadores distintos.

## 2. Metodologia e Desenvolvimento

O conjunto de dados escolhido para a realização dos experimentos é o IEMOCAP. Nele, há aproximadamente 12 horas de áudios de falas pronunciadas por atores dos sexos masculino e feminino, que estão anotados conforme a emoção no formato categórico [Busso et al. 2008]. Na tabela 1 estão as classes de emoções presentes no conjunto de dados, bem como o número de áudios cuja emoção é representada pela classe em questão.

**Tabela 1. Distribuição das classes no conjunto de dados**

Classe	xxx	fru	neu	ang	sad	exc	hap	sur	fea	oth	dis
Número de Instâncias	2507	1849	1708	1103	1084	1041	595	107	40	3	2

Dando ênfase à anotação manual do IEMOCAP, ele foi projetado para conter emoções bem definidas, mas manifestações ambíguas ou mistas são comuns. Logo, para simplificar a anotação, os avaliadores poderiam selecionar múltiplas emoções, sendo usada a votação majoritária para definir a classe final. Quando ocorreu empate, registrou-se a classe como “xxx”.

Conforme [Lieskovská et al. 2021], é comum a utilização das classes “raiva”, “neuro”, “tristeza” e uma combinação das classes “excitação” e “alegria”, em artigos que visam propor modelos de classificação de emoções utilizando o conjunto de dados em questão. Por isso, por fins de comparação, para este estudo, apenas essas quatro classes foram utilizadas.

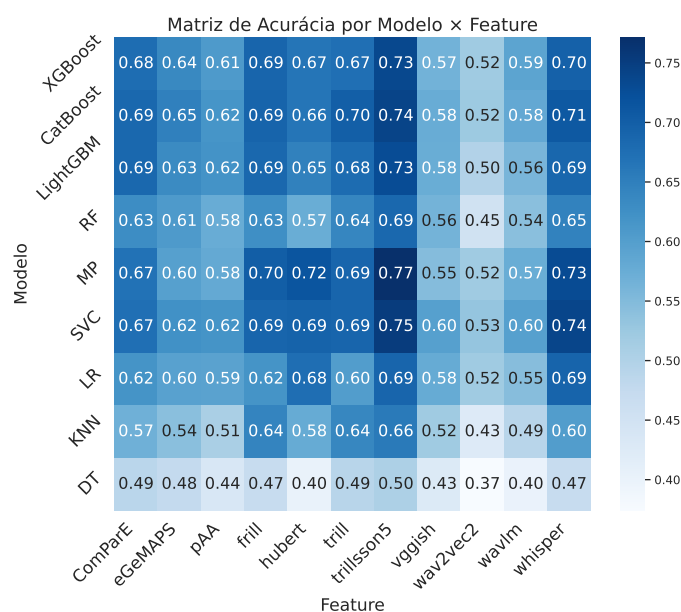
Como pré-processamento para esta pesquisa, todos os áudios foram re-amostrados para uma *sample rate* de 16 kHz, e convertidos para o formato *mono*. A extração de atributos é uma etapa fundamental no reconhecimento de emoções na fala, pois define como o sinal de fala será representado para a classificação. Para fins de comparação, foram utilizados atributos extraídos manualmente, como as propostas nos conjuntos ComParE\_2016, eGeMAPSv02 e pAA<sup>1</sup>, que são definidas com base em conhecimento prévio acústico (como energia e pitch). Mais recentemente, modelos baseados em aprendizado profundo passaram a gerar representações automáticas, conhecidas como *embeddings*, que capturam informações de alto nível diretamente do sinal de fala, sem necessidade de especificar manualmente quais atributos extrair. Dentre as opções existentes, testamos os modelos *VGGish*, *TRILL*, *TRILLsson5*, *FRILL*, *Whisper*, *HuBERT*, *WavLM*, e *Wav2Vec2*. A extração de atributos foi feita a cada arquivo de áudio separadamente e, após o processo de extração, foi aplicada uma padronização a cada instância de conjunto de atributos através do módulo *StandardScaler*<sup>2</sup>.

<sup>1</sup>As bibliotecas estão disponíveis em: <<https://github.com/audeerling/opensmile-python/>> (para as duas primeiras); e <<https://github.com/tyiannak/pyAudioAnalysis>>. Acesso em: 22 de agosto de 2025.

<sup>2</sup>Ver: <<https://scikit-learn.org/stable/modules/generated/sklearn.preprocessing.StandardScaler.html>>. Acesso em: 06 de outubro de 2025

Os modelos de classificação têm como objetivo mapear as representações extraídas dos áudios, sejam elas atributos extraídos manualmente ou *embeddings*, para classes emocionais definidas anteriormente. Ou seja, recebem como entrada números que representam características e produzem como saída a predição da emoção correspondente. Neste artigo, foram utilizados diferentes modelos de classificação. Entre eles estão o *XGBoost*<sup>3</sup>; a Floresta Aleatória; as árvores de decisão; o *CatBoost*<sup>4</sup>; o *LightGBM*<sup>5</sup>, uma versão menos custosa computacionalmente do *XGBoost*; o *Multi-layer Perceptron* (MLP); o k-Vizinhos Mais Próximos (KNN); a Regressão Logística; e a Máquina de Vetores de Suporte<sup>6</sup>. Para a execução de todos os classificadores, foram utilizados os seus parâmetros padrão.

O mapa de calor apresentado na Figura 1 mostra a acurácia entre classificadores (linhas) e a forma de extração de atributos utilizada (colunas), sendo as três primeiras manuais e as demais *embeddings*. O *trillson5* com MP obteve a maior acurácia (0,77), pois fornece representações ricas que se ajustam bem a modelos não lineares. No geral, os *embeddings* acabaram por ter uma média de acurácia similar à dos atributos manuais: ambas resultaram em aproximadamente 60%.



**Figura 1. Mapa de calor com as acurácias atingidas através de cada execução.**

Levando isso em consideração, é possível afirmar que formas de extração de atributos baseadas em *embeddings* não necessariamente acarretam desempenhos melhores para modelos de classificação de emoções em sinais de fala. Todavia, vale ressaltar que, dentre as formas de extração de atributos baseadas em *embeddings* aqui utilizadas, existe uma enorme variação, por um lado, de forma de representação (por exemplo: de número de dimensões do vetor produzido) e, por outro, de acurácia média obtida. Tendo isso em vista, é possível que, caso seja feito algum tipo de otimização dos hiper-parâmetros passados para os modelos (com o uso de *Grid Search*, por exemplo), possivelmente haverá uma mudança significativa nos níveis de acurácia obtidos. Além disso, embora nem

<sup>3</sup>Disponível em: <<https://xgboost.readthedocs.io/en/stable/>>. Acesso em: 22 de agosto de 2025.

<sup>4</sup>Disponível em: <<https://catboost.ai/>>. Acesso em: 22 de agosto de 2025.

<sup>5</sup>Disponível em: <<https://lightgbm.readthedocs.io/en/stable/>>. Acesso em: 22 de agosto de 2025.

<sup>6</sup>Com exceção dos três primeiros apresentados, todos foram implementados através do uso de biblioteca *Scikit-learn*. Ver: <<https://scikit-learn.org/stable/>>. Acesso em 22 de agosto de 2025

todas as formas de extração de atributos baseadas em *embeddings* tenham resultado em acurácias melhores que as manuais, aquelas que obtiveram as melhores acurácias foram baseadas em *embeddings*. Isso sugere que as baseadas em *embeddings* têm o potencial de superarem as manuais na tarefa de reconhecimento de emoções, caso os modelos sejam otimizados para essa tarefa. No caso do modelo que levou à melhor combinação em termos de acurácia, o *Trillsson5*, por conta do fato de ser um modelo que, através de um mecanismo chamado “distilação de conhecimento”, se baseia em um modelo pré-treinado com sinais de fala [Shor and Venugopalan 2022], não é surpreendente que, para essa tarefa, ele tenha tido uma boa eficácia.

### 3. Conclusão

Conclui-se que o modelo *Trillsson5* combinado com o Perceptron Multi-Camadas apresentou o melhor desempenho em termos de acurácia, e que, apesar do fato de que as formas de extração de atributos baseadas em *embeddings* não terem superado as manuais, as primeiras têm o potencial de superarem as segundas na tarefa de reconhecimento de emoções caso o modelo certo seja selecionado. Ademais, uma otimização dos hiper-parâmetros passados aos modelos poderia impactar significativamente o desempenho dos mesmos e, por isso, sugere-se que, para estudos futuros, o mecanismo de *Grid Search* seja utilizado para que hiper-parâmetros mais apropriados sejam selecionados, e para que a comparação possa ser feita de forma mais fidedigna.

### Referências

- Busso, C., Bulut, M., Lee, C.-C., Kazemzadeh, A., Mower, E., Kim, S., Chang, J. N., Lee, S., and Narayanan, S. S. (2008). Iemocap: Interactive emotional dyadic motion capture database. *Language resources and evaluation*, 42(4):335–359.
- Feng, T., Hebbar, R., and Narayanan, S. (2024). Trust-ser: On the trustworthiness of fine-tuning pre-trained speech embeddings for speech emotion recognition. In *ICASSP 2024 - 2024 IEEE International Conference on Acoustics, Speech and Signal Processing (ICASSP)*, pages 11201–11205.
- Guder, L., Aires, J., Meneguzzi, F., and Griebler, D. (2024). Dimensional Speech Emotion Recognition from Bimodal Features. In *Anais do XXIV Simpósio Brasileiro de Computação Aplicada à Saúde*, pages 579–590, Porto Alegre, RS, Brasil. SBC.
- Hashem, A., Arif, M., and Alghamdi, M. (2023). Speech emotion recognition approaches: A systematic review. *Speech Communication*, 154:102974.
- Lieskovská, E., Jakubec, M., Jarina, R., and Chmulík, M. (2021). A review on speech emotion recognition using deep learning and attention mechanism. *Electronics*, 10(10):1163.
- Purohit, T., Vlasenko, B., and Magimai-Doss, M. (2023). Implicit phonetic information modeling for speech emotion recognition. In *INTERSPEECH 2023*, Interspeech, pages 1883–1887. Interspeech Conference, Dublin, IRELAND, AUG 20-24, 2023.
- Russell, J. (1980). A circumplex model of affect. *Journal of personality and social psychology*, 39:1161–1178.
- Shor, J. and Venugopalan, S. (2022). Trillsson: Distilled universal paralinguistic speech representations. *arXiv preprint arXiv:2203.00236*.